

УДК 537.611 : 537.622

Ю. И. Гусева, Л. С. Похил, А. Н. Кучко

ВЛИЯНИЕ ДЕФЕКТНОГО СЛОЯ НА КОЭФФИЦИЕНТ ОТРАЖЕНИЯ СПИНОВЫХ ВОЛН ОТ ПОЛУБЕСКОНЕЧНОГО МАГНОННОГО КРИСТАЛЛА

В данной работе было рассмотрено влияние дефектного слоя на коэффициент отражения спиновых волн от полубесконечного магнотного кристалла. Установлено, что коэффициент отражения зависит от параметров материала и частоты волны.

Ключевые слова: магнотный кристалл, спиновая волна, дефектный слой.

Введение. В последние годы магнотные кристаллы (МК) проявили себя как одни из наиболее интересных и перспективных наноматериалов в развитии СВЧ-техники и оптоэлектроники. Они являются многообещающими объектами при решении задач миниатюризации электронных элементов, уменьшения их энергопотребления. Также, изучение магнотных кристаллов представляет интерес в связи с идеей использования распространяющихся в них спиновых волн (СВ) как носителей информации.

Сейчас акцент в изучении магнетиков, смещается от идеальных структур к моделям все более близким к реальным. Разрабатывают новые подходы для управления параметрами запрещенной зоны магнотных кристаллов, основанных на формировании в периодической структуре МК дефектов. В частности, в работах [1, 2] исследуют изменения спектра спиновых волн со структурным и изолированным дефектом. В [3] был предложен метод расчета дефектного слоя в двух связанных полубесконечных мультислойных магнетиках. В данной работе будет рассматриваться модель мультислойного магнетика с дефектным слоем, в котором анизотропия отлична от других слоев.

Целью работы является получить систему для определения коэффициента отражения. Для решения поставленной задачи будем пользоваться методом матриц преобразований.

Модель материала, уравнения движения и граничные условия. Рассмотрим идеальный (без магнитной вязкости) МК, представляющий собой систему двух чередующихся однородных магнитных слоев толщины соответственно d_1 и d_2 , характеризующихся различными величинами константы одноосной анизотропии в каждом слое β_1 и β_2 . Пусть после N «основных» слоев находится дефектный слой толщины d_3 , в котором величина константы одноосной анизотропии β_3 . Выберем в качестве оси z направление, перпендикулярное к плоскости слоев.

Таким образом, координатная зависимость анизотропии задается, как это изображено на рис. 1.

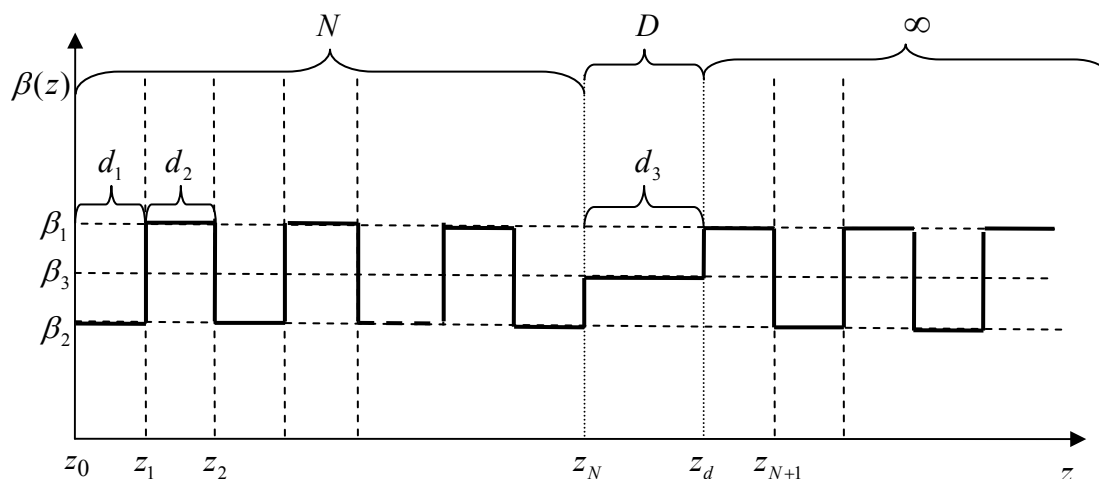


Рис. 1. Координатная зависимость анизотропии

Для описания динамики магнитного момента $\vec{M}(\vec{r}, t)$ воспользуемся уравнением Ландау-Лифшица [4]

$$\frac{\partial \vec{M}}{\partial t} = -g \left[\vec{M} \times \left\{ \left(\beta (\vec{M} \vec{n}) \right) \vec{n} + \frac{\partial}{\partial \vec{r}} \left(\alpha \frac{\partial \vec{M}}{\partial \vec{r}} \right) \right\} \right], \quad (1)$$

где \vec{M} – намагненность, \vec{r} – направление намагненности, g – гиромангнитное отношение, α – обменный параметр, \vec{n} – направление оси магнитной анизотропии, перпендикулярное оси z . Постоянная часть намагненности \vec{M} также направлена вдоль этой оси.

Рассмотрим малые отклонения \vec{m}_j намагненности в отдельном слое ($j = 1 \dots 3$) от основного состояния. Для этого представим распределение намагненности в виде

$$\vec{M}_j(\vec{r}, t) = \vec{n} M_0 + \vec{m}_j(\vec{r}, t), \quad |\vec{m}_j| \ll M_0. \quad (2)$$

Проводя линеаризацию (1) с учетом разложения (2) и постоянства длины вектора намагненности в слоях $[\vec{M}_j(\vec{r}, t)]^2 = M_0^2$, переходя ко временным фурье-компонентам $\vec{m}_j(\vec{r}, t) = \vec{m}_j \exp\{i\omega t\}$ и вводя переменную $\mu = m_x + i m_y$, получаем следующее уравнение, описывающее распространение СВ в каждом из слоев МК

$$\frac{d^2 \mu_i(z)}{dz^2} + k_i^2(z) \mu_i(z) = 0 \quad (j = 1 \dots 4), \quad (3)$$

где $k_i(z) = \sqrt{(\Omega - \beta_i(z))/\alpha}$, $\Omega = \omega/gM_0$.

На границах раздела слоев (z_j – координата границы раздела) решения уравнений (3) в каждом слое должны удовлетворять граничным условиям, которые в обменном пределе имеют вид

$$\mu_j \Big|_{z_j} = \mu_{j+1} \Big|_{z_j}, \quad \frac{\partial \mu_j}{\partial z} \Big|_{z_j} = \frac{\partial \mu_{j+1}}{\partial z} \Big|_{z_j}. \quad (4)$$

Кроме того, решение (3) должно удовлетворять условию периодичности, то есть величины намагненности \vec{m}_j на границах периода $z = 0$ и $z = L$ могут отличаться только на фазовый множитель

$$\mu(0) = e^{iKL} \mu(L), \quad (5)$$

где K – квазиволновое число.

Для первого ($0 < z < z_1$) и второго ($z_1 < z < z_2$) слоев решение уравнения (3) имеет вид плоских волн

$$\mu_1(z) = \mu_1^+ e^{+ik_1 z} + \mu_1^- e^{-ik_1 z}, \quad \mu_2(z) = \mu_2^+ e^{+ik_2 z} + \mu_2^- e^{-ik_2 z}. \quad (6)$$

Решение поставленной задачи. Для нахождения коэффициента отражения для данной структуры разделим модель на три части (рис. 1) и для каждой решим задачу о нахождении матрицы преобразования.

Первая часть – это идеальный магнетонный кристалл, который представляет собой систему двух чередующихся однородных магнитных слоев. Однородные слои характеризуются различными значениями одноосной анизотропии в каждом слое: β_1 и β_2 , и толщиной d_1 и d_2 .

Мы будем пользоваться методом матриц преобразования, поэтому для каждого слоя составим соответствующую ему матрицу. В силу граничных условий (5), вектор $U(z)$ должен быть непрерывен на границе раздела слоев, поэтому значения в начале и конце периода должны быть связаны соотношением

$$U(0) = M U(L), \quad (7)$$

где для первой части структуры

$$M = M_N = M_0^N, \quad (8)$$

M_0 – матрица преобразования одного периода структуры.

Пусть на границу магнетика слева падает волна с единичной амплитудой и фазой $e^{ik_1 z}$, тогда отраженную волну можно представить как $\rho e^{ik_1 z}$ и прошедшую через период волну – $\tau e^{ik_1 z}$.

Решение уравнения Ландау-Лифшица для падающей, прошедшей через первый слой, через второй слой волны и волны, что прошла через период имеет вид

$$\begin{aligned} \mu_1(z) &= e^{+ik_0 z} + \rho e^{-ik_0 z}, & \mu_2(z) &= \mu_1^+ e^{+ik_1 z} + \mu_1^- e^{-ik_1 z}, \\ \mu_3 &= \mu_2^+ e^{+ik_2 z} + \mu_3^- e^{-ik_2 z}, & \mu_4(z) &= \tau e^{+ik_2 z}. \end{aligned} \quad (9)$$

Используя метод матриц преобразования, имеем выражение, которое связывает начало первого слоя с концом с помощью матрицы

$$U(z_0) = \hat{M}_1 U(z_1), \quad \hat{M}_1 = \begin{pmatrix} \cos(k_1 d_1) & -k_1 \sin(k_1 d_1) \\ k_1^{-1} \sin(k_1 d_1) & \cos(k_1 d_1) \end{pmatrix}, \quad (10)$$

где

$$U(z) = \begin{pmatrix} \mu(z) \\ \sigma(z) \end{pmatrix}, \quad \begin{aligned} \sigma_1 &= ik_0 e^{+ik_0 z} - ik_0 \rho e^{-ik_0 z}, & \sigma_3 &= ik_2 \mu_2^+ e^{+ik_2 z_2} - ik_2 \mu_2^- e^{-ik_2 z_2}, \\ \sigma_2 &= ik_1 \mu_1^+ e^{+ik_1 z_0} - ik_1 \mu_1^- e^{-ik_1 z_0}, & \sigma_4 &= ik_3 \tau e^{+ik_3 z}. \end{aligned} \quad (11)$$

Для второго слоя аналогичным образом получаем

$$\hat{M}_2 = \begin{pmatrix} \cos(k_2 d) & -k_2 \sin(k_2 d) \\ k_2^{-1} \sin(k_2 d) & \cos(k_2 d) \end{pmatrix}. \quad (12)$$

А значит матрица преобразования для одного периода равна

$$\hat{M}_0 = M_1 M_2 = \begin{pmatrix} m_{11} & m_{12} \\ m_{21} & m_{22} \end{pmatrix}, \quad (13)$$

где

$$\begin{aligned} m_{11} &= \cos k_1 d \cos k_2 d - \frac{k_1}{k_2} \sin k_1 d \sin k_2 d, & m_{12} &= -k_2 \sin k_2 d \cos k_1 d - k_1 \sin k_1 d \cos k_2 d, \\ m_{21} &= \frac{1}{k_1} \sin k_1 d \cos k_2 d + \frac{1}{k_2} \sin k_2 d \cos k_1 d, & m_{22} &= -\frac{k_2}{k_1} \sin k_1 d \sin k_2 d + \cos k_1 d \cos k_2 d. \end{aligned} \quad (14)$$

Посчитав матрицу M_0 , подставим ее в (2) и применим формулу Абелеса для нахождения компонент матрицы M_N

$$M_0^N = \begin{pmatrix} m_{11} U_{N-1}(x) - U_{N-2}(x) & m_{12} U_{N-1}(x) \\ m_{21} U_{N-1}(x) & m_{22} U_{N-1}(x) - U_{N-2}(x) \end{pmatrix}, \quad (15)$$

где $x = (m_{11} + m_{22})/2$, $U_{N-1}(x) = \sin(Nx) / \sin x$.

Аналогично, решим задачу для получения матриц преобразования для второй и третьей части модели.

Вторая часть структуры представляет собой магнетонный кристалл из одного слоя толщины d_3 , характеризующийся одноосной анизотропии β_3 .

Решение уравнения Ландау-Лифшица для падающей, прошедшей через дефектный слой и волны, что прошла через слой имеет вид

$$\begin{aligned} \mu_N(z) &= T_N e^{+ik_N z} + R_N e^{-ik_N z}, & \mu_d(z) &= T_d e^{+ik_d z} + R_d e^{-ik_d z}, \\ \mu_{N+1}(z) &= T_{N+1} e^{+ik_{N+1} z}. \end{aligned} \quad (16)$$

Используя граничные условия, составляем систему уравнений

$$U(z_N) = \hat{M}_d U(z_d), \quad \hat{M}_d = \begin{pmatrix} \cos(k_d d_3) & -k_3 \sin(k_1 d_3) \\ k_3^{-1} \sin(k_d d_3) & \cos(k_1 d_3) \end{pmatrix}. \quad (17)$$

Для третьей части полубесконечного мультислойного магнетика матрица преобразования имеет вид

$$M_\infty = \lim_{N \rightarrow \infty} M_0^N = \begin{pmatrix} m_{11}^\infty & m_{12}^\infty \\ m_{21}^\infty & m_{22}^\infty \end{pmatrix}. \quad (18)$$

Таким образом, разделив задачу на три более простые, находим для каждой матрицу преобразований и для общей модели имеем

$$\begin{pmatrix} 1 + R \\ ik_1(1 - R) \end{pmatrix} = \hat{M} \begin{pmatrix} T_\infty e^{ik_{N+1} l} + R_\infty e^{-ik_{N+1} l} \\ ik_{N+1}(T_\infty e^{ik_{N+1} l} - R_\infty e^{-ik_{N+1} l}) \end{pmatrix}, \quad \hat{M} = M_N M_D M_\infty = \begin{pmatrix} M_{11} & M_{12} \\ M_{21} & M_{22} \end{pmatrix}, \quad (19)$$

где R_∞ – коэффициент отражения волны от третьей части модели, T_∞ – коэффициент прохождения волны через все слои.

Выразим из полученной системы уравнений коэффициент отражения от всей структуры

$$R = \frac{k_1 M_{11} - k_{N+1} M_{22} + i(k_{N+1} k_1 M_{12} + M_{21})}{k_1 M_{11} + k_{N+1} M_{22} + i(k_{N+1} k_1 M_{12} - M_{21})}. \quad (20)$$

Таким образом, имеем систему уравнений для определения коэффициента отражения для нашей модели. Коэффициент отражения зависит от толщины слоев, значений одноосной анизотропии, расположения, относительно других слоев, дефектного слоя, частоты и от обменного параметра.

Выводы. В данной работе была получена система уравнений для нахождения коэффициента отражения спиновых волн от полубесконечного магнетика с дефектным слоем. Установлено, что коэффициент отражения будет зависеть от толщины слоев, значений одноосной анизотропии, относительного расположения дефектного слоя, частоты и обменного параметра.

СПИСОК ЛІТЕРАТУРИ

1. Kuchko A. N. Spin wave spectrum of a magnonic crystal with an internally structured defect / A. N. Kuchko, M. L. Sokolovskii, V. V. Kruglyak // Physica B. – 2005. – Vol. 370, No 1–4. – P. 73–77.
2. Spin wave spectrum of a magnonic crystal with an isolated defect / V. V. Kruglyak, M. L. Sokolovskii, V. S. Tkachenko, A. N. Kuchko // Journal of applied physics. – 2006. – Vol. 99, No 8. – P. 1–3.
3. Klos J. W. Symmetry-related criteria for the occurrence of defect states in magnonic superlattices / J. W. Klos, V. S. Tkachenko // Journal of applied physics. – 2013. – Vol. 133, No 7. – P. 1–9.
4. Ахиезер А. И. Спиновые волны / А. И. Ахиезер, В. Г. Барьяхтар, С. В. Пелетминский. – М.: Наука, 1967. – 368 с.

Поступила в редакцию 05.03.2014 г.

РЕЗЮМЕ

В даній роботі було розглянуто вплив дефектного шару на коефіцієнт відбиття спинових хвиль від напівнескінченного магнетичного кристалу. Встановлено, що коефіцієнт відбиття залежить від параметрів матеріалу та частоти хвилі.

Ключові слова: магнетичний кристал, спінова хвиля, дефектний шар.

SUMMARY

Problem of the influence of the defect layer on the reflection coefficient of the spin waves from a semi-infinite magnonic crystal was considered. It was established that the reflection coefficient depends on material parameters and frequency of spin wave.

Keywords: magnonic crystal, spin wave, defect layer.